

**МЕХАНИКА  
ЖИДКОСТИ И ГАЗА  
№ 1 • 2015**

УДК 532.582.92

**О НЕСТАЦИОНАРНОМ ВСПЛЫТИИ ПУЗЫРЬКА В ВЯЗКОЙ ЖИДКОСТИ  
ПРИ МАЛЫХ ЧИСЛАХ РЕЙНОЛЬДСА**

© 2015 г. В. А. АРХИПОВ\*, И. М. ВАСЕНИН\*, А. С. ТКАЧЕНКО\*\*, А. С. УСАНИНА\*

\*Томский государственный университет, Физико-технический факультет, Томск

\*\*Томский государственный педагогический университет,

Факультет технологии и предпринимательства, Томск

e-mail: leva@niipmt.tsu.ru

Поступила в редакцию 20.05.2014 г.

Исследуется всплытие из состояния покоя малых пузырьков в вязкой несжимаемой жидкости. Получено выражение для силы Бассе, действующей на пузырек в вязкой жидкости, которое отличается множителем от силы, полученной Бассе для твердой сферы. Аналитически решена задача о нестационарном всплытии пузырька. Экспериментально исследовано всплытие пузырьков, и проведено сравнение экспериментальных и теоретических результатов.

*Ключевые слова:* пузырек, вязкая жидкость, нестационарный режим, сила Бассе.

Исследования закономерностей движения пузырьков в жидкости – это одна из классических задач гидродинамики. Интерес к динамике пузырьков обусловлен их ролью в целом ряде прикладных задач, связанных с двухфазными течениями в энергоустановках, теплообменом при кипении, кавитацией, подводной акустикой, флотацией, охлаждением ядерных реакторов и другими физическими процессами. В указанных задачах одним из существенных факторов является изменение скорости движения пузырьков в жидкости.

Анализ научной литературы по проблеме показал, что существует ограниченное количество работ по нестационарному движению одиночного пузырька. Большинство экспериментов посвящено исследованию стационарного всплытия одиночного пузырька (закон сопротивления, потеря устойчивости формы) и высококонцентрированной системы пузырьков. Теоретический анализ закономерностей нестационарного движения частиц дисперсной фазы проведен преимущественно для твердых сферических частиц [1, 2]; также в [1] приведены результаты экспериментального исследования.

Среди экспериментальных работ по движению одиночного пузырька с учетом нестационарных и “наследственных” эффектов можно отметить работы [3, 4]. В [3] методом анализа размерностей для чисел Рейнольдса  $Re = 0.01 \div 100$  получена эмпирическая зависимость коэффициента сопротивления пузырька от  $Re$  с учетом нестационарных и “наследственных” сил. Однако полученные результаты невозможno использовать для практических расчетов ввиду неопределенности некоторых входящих в нее параметров. Анализ экспериментальных результатов [4] по скорости нестационарного всплытия пузырька не представляется возможным, так как отсутствуют данные по физическим свойствам жидкости.

Из теоретических работ, посвященных нестационарному движению пузырька в вязкой жидкости, отметим исследования [5–8]. Движение твердой, жидкой и газообразной сферической частиц изучалось путем приближенного решения линеаризованных

уравнений Навье–Стокса операционным методом. Основной результат [5–8] сформулирован в выводе, согласно которому, безразмерные скорости  $u/u_\infty$  для твердой частицы и газового пузырька тех же размеров близки по величине.

Подробный обзор результатов теоретических и экспериментальных работ по нестационарному всплытию пузырька представлен в работе [9]. Цель настоящей работы – экспериментально-теоретическое исследование нестационарного режима всплытия одиночного сферического пузырька в вязкой жидкости.

**1. Теоретический анализ.** Рассматривая только прямолинейное движение центра пузырька, оценим силу сопротивления  $F_C$ , действующую на пузырек при его нестационарном движении в вязкой жидкости. Используется подход [10] для нахождения  $F_C$  в случае твердого шарика.

Аналогично [10] изучается течение жидкости при малых числах Рейнольдса и предполагается сферическая форма пузырька. Различие заключается только в том, что в случае твердого шарика на границе применяются условия прилипания жидкости, а в случае пузырька, заполненного газом с малой вязкостью, – условия непротекания через его границу, а также равенство нулю на этой границе касательных напряжений.

Сначала вычислим силу сопротивления, действующую на пузырек радиусом  $R$  при его гармонических колебаниях со скоростью  $\mathbf{u} = \mathbf{u}_m \exp(-i\omega t)$ , где  $u_m$  – амплитуда колебаний;  $\omega$  – частота колебаний;  $t$  – время. Так же, как и в [10], скорость жидкости будем находить в виде

$$\mathbf{V} = \exp(-i\omega t) \operatorname{rot} \operatorname{rot}(f(r)\mathbf{u}_m) \quad (1.1)$$

Подставим (1.1) в уравнение

$$\frac{\partial}{\partial t} \operatorname{rot} \mathbf{V} = v \Delta \operatorname{rot} \mathbf{V}$$

в котором через  $v$  обозначена кинематическая вязкость жидкости. Для функции  $f(r)$  получим уравнение

$$\Delta^2 f + \frac{i\omega}{v} \Delta f = 0 \quad (1.2)$$

Интегрируя (1.2), имеем

$$f' = a \frac{\exp(icr)}{r^2} \left( r - \frac{1}{ic} \right) + \frac{b}{r^2} \quad (1.3)$$

где  $a, b$  – постоянные интегрирования. Поскольку  $ic = -(1-i)\sqrt{\omega/2v}$ , правая часть (1.2) при  $r \rightarrow \infty$  стремится к нулю. В сферических координатах компоненты скорости  $\vec{V}$  с учетом (1.1) записываются как

$$V_r = \exp(-i\omega t) (\operatorname{rot} \operatorname{rot} f \mathbf{u}_m)_r = 2 \exp(-i\omega t) u_m \cos \theta \frac{f'}{r} \quad (1.4)$$

$$V_\theta = \exp(-i\omega t) (\operatorname{rot} \operatorname{rot} f \mathbf{u}_m)_\theta = \exp(-i\omega t) \left( \frac{ica \exp(icr)}{r} - \frac{f'}{r} \right) u_m \sin \theta \quad (1.5)$$

где  $\theta$  – полярный угол, отсчитываемый от направления вектора скорости пузырька.

Поскольку проекция радиальной скорости движения жидкости на поверхности пузырька равна скорости точек его поверхности в направлении радиуса  $r$ , для радиальной скорости при  $r = R$  из (1.4) получим

$$\frac{f'(R)}{R} = -\frac{1}{2} \quad (1.6)$$

Тогда условие отсутствия на поверхности пузырька касательных напряжений

$$\left( \frac{1}{r} \frac{\partial V_r}{\partial \theta} + \frac{\partial V_\theta}{\partial r} - \frac{V_\theta}{r} \right)_{r=R} = 0$$

с учетом (1.6), примет вид

$$\frac{3}{R} + \left( \frac{3}{R} - ic \right) \frac{ica \exp(icR)}{R} = 0$$

Откуда следует, что

$$\frac{ica \exp(icR)}{R} = \frac{-1}{1 - icR/3} = \frac{-1}{1 - (i-1)Rq/3}$$

где  $q = \sqrt{\omega/2\nu}$ .

Для ограниченных значений  $\omega$  и малых  $R$  таких, что  $(R/3)\sqrt{\omega/2\nu} \ll 1$ , пренебрегаем величиной  $(1-i)(R/3)\sqrt{\omega/2\nu}$  в знаменателе по сравнению с единицей и полагаем

$$\frac{ica \exp(icR)}{R} = -1 \quad (1.7)$$

Проекция силы сопротивления пузырька  $F_C$  на направление  $\mathbf{u}_m$  вычисляется по формуле

$$F_C = \int_0^\pi \left( -P \cos \theta + 2\mu \frac{\partial V_r}{\partial r} \cos \theta \right) 2\pi R^2 \sin \theta d\theta \quad (1.8)$$

где  $P$  — давление;  $\mu$  — динамическая вязкость жидкости. Здесь учтено, что касательные напряжения на поверхности пузырька равны нулю.

Распределение давления при  $r = R$  находится путем интегрирования проекции уравнения движения жидкости на направление  $\theta$  по  $\theta$  при  $r = R$

$$\frac{\partial V_\theta}{\partial r} = -\frac{1}{\rho R} \frac{\partial P}{\partial \theta} + \nu \left( \Delta V_\theta + \frac{2}{R^2} \frac{\partial V_r}{\partial \theta} - \frac{V_\theta}{R^2 \sin^2 \theta} \right) \quad (1.9)$$

где  $\rho$  — плотность жидкости. После подстановки скорости в (1.9) с учетом (1.6) и (1.7) и интегрирования по  $\theta$  находим, что

$$P = P_0 \exp(-i\omega t) + \nu \rho \cos \theta u_m \exp(-i\omega t) \left( \frac{1}{R} - ic + R(ic)^2 - \frac{i\omega \rho R}{2\mu} \right) \quad (1.10)$$

Поскольку интеграл (1.8) от константы  $P_0$  равен нулю, эта константа не вычислялась.

После подстановки в (1.8) давления  $P$  и производной  $\partial V_r / \partial r$  находим выражение для силы сопротивления пузырька, совершающего гармонические колебания со скоростью  $\mathbf{u}_m \exp(-i\omega t)$

$$F_C = -\pi \rho R^2 u_m \exp(-i\omega t) \left[ \frac{4\nu}{R} - \frac{2}{3} i\omega + \frac{2}{3} (1-i) \frac{\sqrt{2\nu}}{R} \sqrt{\omega} \right] \quad (1.11)$$

где знак “—” указывает на направление силы сопротивления, противоположное направлению скорости пузырька.

Вычислим силу сопротивления, действующую на пузырек, движущийся с произвольной скоростью  $u(t)$ . Представим скорость пузырька через интеграл Фурье

$$u(t) = \frac{1}{2\pi} \int_{-\infty}^{\infty} u_{\omega} \exp(-i\omega t) d\omega \quad (1.12)$$

$$\text{где } u_{\omega} = \int_{-\infty}^{\infty} u(\tau) \exp(i\omega\tau) d\tau.$$

Сила сопротивления для данного случая представляется в виде интеграла от сил сопротивления, получающихся при движении со скоростями, равными компонентам Фурье  $u_{\omega} \exp(-i\omega t)$ . Эти силы рассчитываются по формуле (1.12), принимающей с учетом  $(du/dt)_{\omega} = -i\omega u_{\omega}$  вид

$$-\pi\rho R^3 \exp(-i\omega t) \left( \frac{4v}{R^2} u_{\omega} + \frac{2}{3} \left( \frac{du}{dt} \right)_{\omega} + \frac{2\sqrt{2v}}{3} \frac{(1+i)}{R} \frac{1}{\sqrt{\omega}} \right) \quad (1.13)$$

Соотношение (1.13) отличается от аналогичной формулы для твердого шарика [10] только множителями в первом и третьем слагаемых. Поэтому и интеграл Фурье будет отличаться от аналогичного интеграла для твердого шарика лишь этими коэффициентами. Повторяя выкладки, приведенные в [10], получим

$$F_C = -2\pi\rho R^3 \left( \frac{1}{3} \frac{du}{dt} + \frac{2v}{R^2} u + \frac{2}{3} R \sqrt{\frac{v}{\pi}} \int_{-\infty}^t \frac{du}{d\tau} \frac{d\tau}{\sqrt{t-\tau}} \right) \quad (1.14)$$

Первое слагаемое в выражении (1.14) описывает силу, обусловленную присоединенными массами при потенциальному обтекании сферы. Второе дает вклад в вязкое сопротивление в соответствии с формулой Рыбчинского–Адамара для пузырька. Третье слагаемое описывает силу Бассе, которая для пузырька в  $9/2$  раз меньше, чем для твердого шарика.

Рассмотрим модель всплытия пузырька в неограниченной вязкой жидкости. С учетом сил тяжести, Архимеда и сопротивления уравнение его движения имеет вид

$$V_p \rho_p \frac{du}{dt} = -\frac{1}{2} V_p \rho \frac{du}{dt} - 4\pi\mu Ru - V_p (\rho_p - \rho)g - \frac{4}{3} \pi R^2 \sqrt{\frac{v}{\pi}} \int_{-\infty}^t \frac{du}{d\tau} \frac{d\tau}{\sqrt{t-\tau}} \quad (1.15)$$

где  $V_p$  – объем пузырька;  $\rho_p$  – плотность газа;  $g$  – ускорение свободного падения. Поскольку  $\rho_p \ll \rho$ , слагаемыми с  $\rho_p$  в (1.15) пренебрегаем.

Вводя характерный временной масштаб  $T_0 = \rho R^2 / 6\mu$  и безразмерное время  $\bar{t} = t/T_0$ , уравнение (1.15) запишем как

$$\frac{du}{d\bar{t}} + u + \sqrt{\frac{2}{3\pi}} \int_{-\infty}^{\bar{t}} \frac{du}{d\tau} \frac{d\tau}{\sqrt{\bar{t}-\tau}} = 2gT_0 \quad (1.16)$$

Используя условия  $u(0) = 0$  и  $du/d\bar{t} = 0$  при  $\bar{t} < 0$ , представим (1.16) в форме

$$\frac{du}{d\bar{t}} + \int_0^{\bar{t}} \frac{du}{d\tau} d\bar{\tau} + \sqrt{\frac{2}{3\pi}} \int_0^{\bar{t}} \frac{du}{d\tau} \frac{d\tau}{\sqrt{\bar{t}-\tau}} = 2gT_0$$

Вводя ускорение  $a = du/d\bar{t}$ , запишем

$$a + \int_0^{\bar{t}} adt + \sqrt{\frac{2}{3\pi}} \int_0^{\bar{t}} a \frac{d\bar{\tau}}{\sqrt{\bar{t} - \bar{\tau}}} = 2gT_0$$

Последнее уравнение имеет точное решение

$$a(\bar{t}) = \frac{4}{\sqrt{\pi}} g T_0 \int_0^{\infty} \exp\left(-\sqrt{\frac{2}{3}} \bar{t} x\right) \left( \cos \sqrt{\frac{10}{3}} \bar{t} x - \frac{1}{\sqrt{5}} \sin \sqrt{\frac{10}{3}} \bar{t} x \right) \exp(-x^2) dx$$

которое находится операционным методом с применением преобразования Лапласа [11].

После нахождения ускорения скорость вычисляется как  $u(\bar{t}) = \int_0^{\bar{t}} a(\bar{t}') d\bar{t}'$ .

**2. Экспериментальное исследование.** Эксперименты проводились на установке, состоящей из прозрачной кюветы с плоскопараллельными стенками, наполненной рабочей жидкостью, устройства для генерации пузырьков и системы визуализации процесса всплытия одиночного пузырька (фиг. 1).

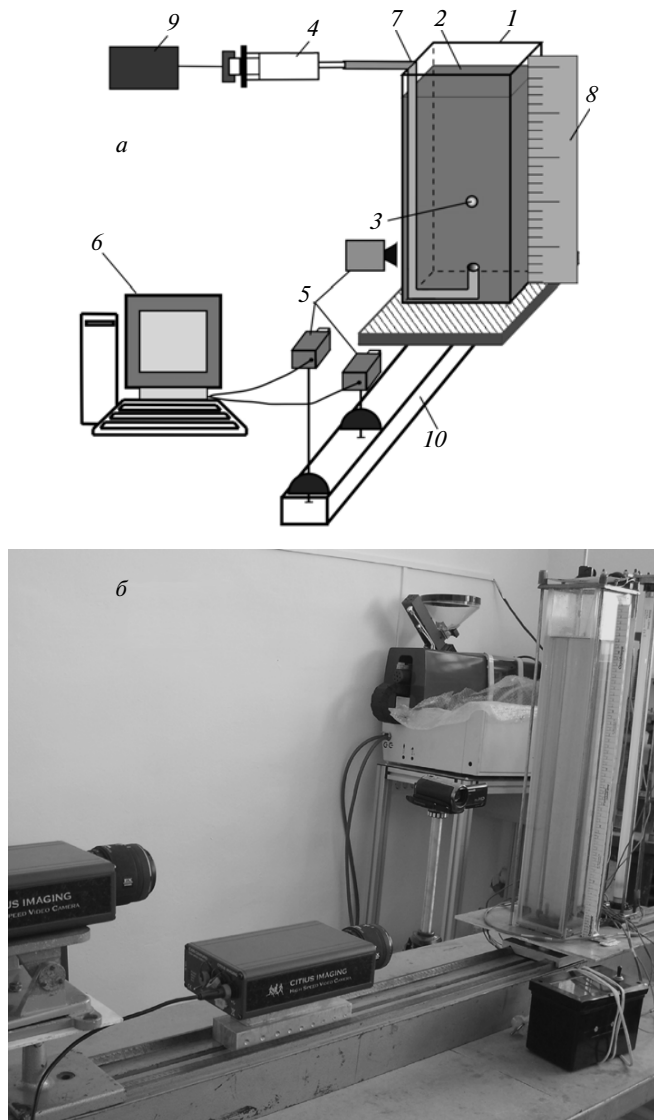
Кювета призматической формы размером  $150 \times 150 \times 600$  мм изготовлена из оптического стекла толщиной 5 мм. Для варьирования размера пузырька использовались иглы, расположенные в основании кюветы, с различным диаметром выходного отверстия.

Система визуализации включала источники света (люминесцентные лампы мощностью 18 Вт), установленные на задней панели по всей высоте кюветы, цифровую видеокамеру Panasonic HDC-SD60 и две высокоскоростные видеокамеры Citius C100. Многоракурсная видеосъемка исследуемого процесса позволила повысить точность и обеспечить контроль за изменением параметров всплытия пузырька на различных стадиях его движения. Первая камера фиксировала динамику пузырька на начальном нестационарном этапе движения, вторая – на всей траектории пузырька. Видеосъемка проводилась с разрешением  $1280 \times 670$  со скоростью свыше 700 кадр/с и временем экспозиции  $1/500$ – $1/2000$  с. Третья камера использовалась для определения размера пузырька; область съемки составляла  $5 \times 5$  см с увеличением в 2 раза.

Для повышения точности получаемых экспериментальных данных в настоящей работе использовалась жидкость со стабильными физико-химическими свойствами в диапазоне рабочих температур  $17$ – $22^\circ\text{C}$  – раствор касторового масла в спирте.

В экспериментах определялись следующие параметры: коэффициент динамической вязкости  $\mu_l$  и плотность  $\rho_l$  раствора, диаметр  $D$  и скорость всплытия  $u$  пузырька. По экспериментально измеренным параметрам рассчитывались значения числа Рейнольдса  $Re$  и коэффициента сопротивления  $C$ . Плотность исследуемой жидкости определялась ареометром ( $\rho_l = 935$ – $960$  кг/м $^3$ ). Вязкость раствора  $\mu_l = 0.23 \div 1.13$  Па · с оценивалась из формулы Стокса при гравитационном осаждении твердой частицы. Диаметр пузырька  $D = 3.2$ – $5.5$  мм определялся путем обработки результатов видеосъемки процесса всплытия. Пройденный пузырьком путь и скорость определялись путем покадровой обработки результатов скоростной видеосъемки. Скорость всплытия пузырька на некоторой высоте  $h_i$  вычислялась по формуле

$$u(h_i) = \frac{h_{i+1} - h_{i-1}}{\Delta t_i} \quad (i = 1, 2, \dots, N)$$

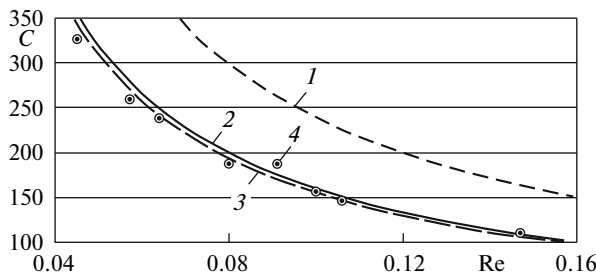


Фиг. 1. Схема (а) и фотография (б) экспериментальной установки: 1 – кювета; 2 – рабочая жидкость; 3 – пузырек; 4 – генератор пузырьков; 5 – видеокамеры; 6 – компьютер; 7 – трубка; 8 – масштабная линейка; 9 – электродвигатель; 10 – оптическая скамья

где  $h_{i-1}$ ,  $h_{i+1}$  – пройденное пузырьком расстояние на  $i - 1$  и  $i + 1$  кадрах, соответственно;  $\Delta t_i$  – интервал времени между  $i - 1$  и  $i + 1$  кадрами;  $N$  – количество кадров.

В уравнение движения пузырька входит закон сопротивления вязкого обтекания. При малых  $Re < 1$  коэффициент сопротивления сферической частицы определяется по формуле Рыбчинского–Адамара

$$C = \frac{24}{Re} \left( \frac{3\mu_* + 2}{3 + 3\mu_*} \right), \quad Re = \frac{\rho_l u D}{\mu_l}, \quad (2.1)$$



Фиг. 2. Зависимость коэффициента сопротивления от числа Рейнольдса: 1–3 –  $A = 24, 16, 15.5$ ; 4 – экспериментальные значения  $C_e$

где  $\mu_* = \mu/\mu_l$  – отношение коэффициентов динамической вязкости дисперсной  $\mu$  и дисперсионной  $\mu_l$  фаз. В предельных случаях из (2.1) определяется коэффициент сопротивления в виде

$$C = \frac{A}{Re} \quad (2.2)$$

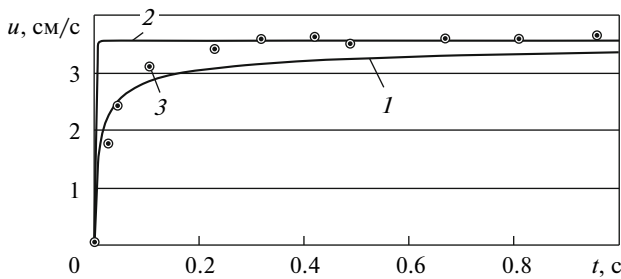
где  $A = 16$  для пузырька ( $\mu_* \rightarrow 0$ ),  $A = 24$  для твердой сферы ( $\mu_* \rightarrow \infty$ ).

Для уточнения коэффициента сопротивления в стационарном режиме выполнена серия экспериментов, результаты которой приведены в таблице: экспериментальные значения стационарной скорости всплытия пузырька  $u_e$ , числа Рейнольдса  $Re$  и коэффициента сопротивления  $C_e$ . При расчете числа Рейнольдса использовались экспериментальные данные: стационарная скорость всплытия пузырька, его размер, физические свойства жидкости. Величина экспериментального коэффициента сопротивления  $C_e$  определялась из уравнения движения пузырька в стационарном режиме по формуле

$$C_e = \frac{4}{3} g (\rho_l - \rho) \frac{D}{\mu_l u_e^2}$$

#### Результаты экспериментов по стационарному всплытию пузырька

| D, мм | $\rho_l$ , кг/м <sup>3</sup> | $\mu_l$ , Па · с | $u_e$ , см/с | Re    | $A = 16$ | $A = 15.5$ | $C_e$ |
|-------|------------------------------|------------------|--------------|-------|----------|------------|-------|
| 3.7   | 960                          | 1.13             | 0.88         | 0.028 | 571.4    | 553.6      | 624   |
| 3.6   | 960                          | 0.92             | 1.2          | 0.045 | 355.5    | 344.4      | 326   |
| 3.9   | 960                          | 0.92             | 1.4          | 0.057 | 280.7    | 271.9      | 260   |
| 4.1   | 960                          | 0.92             | 1.5          | 0.064 | 250.0    | 242.2      | 238   |
| 4.4   | 960                          | 0.92             | 1.75         | 0.08  | 200.0    | 193.7      | 188   |
| 5.5   | 960                          | 1.13             | 1.96         | 0.091 | 175.8    | 170.3      | 187   |
| 4.8   | 960                          | 0.92             | 2.0          | 0.1   | 160.0    | 155        | 157   |
| 4.9   | 960                          | 0.92             | 2.09         | 0.106 | 150.9    | 146.2      | 146   |
| 5.5   | 960                          | 0.92             | 2.55         | 0.146 | 109.6    | 106.2      | 110   |
| 3.2   | 935                          | 0.23             | 3.6          | 0.47  | 34.0     | 32.9       | 28.9  |
| 3.4   | 935                          | 0.23             | 4.0          | 0.56  | 28.6     | 27.7       | 27.7  |



Фиг. 3. Зависимость скорости всплытия пузырька от времени с учетом (1) и без учета (2) силы Бассе; 3 – данные эксперимента

Относительная погрешность определения  $C_e$  рассчитывалась по формуле

$$\delta C_e = \delta D + 2\delta u_e$$

где  $\delta D = 3\%$ ,  $\delta u_e = 0.1\%$ . В оценках  $\delta C_e$  не учитывались погрешности измерения плотности  $\rho$  и  $\rho_l$  в силу их малости. Для условий проведенных экспериментов погрешность экспериментального определения коэффициента сопротивления не превышала 3%. По аналогии с (2.2) зависимость  $C_e(\text{Re})$  аппроксимировалась формулой

$$C_e = \frac{15.5}{\text{Re}} \quad (2.3)$$

Значения коэффициентов сопротивления, рассчитанные по формуле (2.2) для  $A = 16$  и  $A = 15.5$ , приведены в таблице. На фиг. 2 показаны расчетные и экспериментальные значения коэффициента сопротивления в диапазоне чисел Рейнольдса  $\text{Re} = 0.03–0.55$ . Наименьшее отклонение теоретического от экспериментального коэффициента сопротивления  $C_e$  наблюдается для зависимости (2.3) со среднеквадратичным отклонением  $\delta = 1.9\%$ . Для зависимости Рыбчинского–Адамара ( $A = 16$ ) отклонение  $\delta = 2.2\%$ . Стоксовское выражение для коэффициента сопротивления ( $A = 24$ ) дает результаты, существенно отличающиеся от экспериментальных данных (фиг. 2).

**3. Сравнительный анализ результатов.** На фиг. 3 приведена зависимость скорости всплытия пузырька от времени, полученная из решения уравнения движения (1.15) с учетом всех действующих сил (кривая 1). Расчеты проведены для указанных выше параметров экспериментов. Для константы в силе вязкого сопротивления принято экспериментальное значение  $A = 15.5$ . Здесь же приведена зависимость  $u(t)$ , в которой учтена сила, связанная с присоединенной массой [12], но не учтена сила Бассе (кривая 2).

Анализ приведенных на фиг. 3 данных показывает, что зависимость  $u(t)$ , полученная расчетом без учета силы Бассе (2), не отражает реальную динамику всплытия пузырька на нестационарном участке его траектории, однако адекватно описывает стационарный режим.

Зависимость  $u(t)$ , рассчитанная с учетом силы Бассе, удовлетворительно согласуется с экспериментальными данными на начальном участке траектории (расхождение не превышает 5%). При этом расчетные зависимости  $u(t)$  характеризуются медленным выходом на стационарный режим; расхождение расчетных и экспериментальных данных по скорости пузырька для  $t > t_* = 0.15$  с составляет не более 9%. Отметим, что аналогичный “затянутый” выход скорости частиц на стационарный режим получен в тео-

ретических работах по нестационарному движению дисперсной частицы [3, 13]. Расхождение расчетных и экспериментальных данных по динамике всплытия пузырька связано, по-видимому, с неточностью соблюдения условия  $u = 0$  при  $t = 0$  в экспериментах.

**Заключение.** Результаты теоретического исследования нестационарного всплытия пузырька в вязкой жидкости при малых числах Рейнольдса показали, что нестационарная сила Бассе оказывает существенное влияние на закономерности всплытия пузырька.

Сравнение теоретических и экспериментальных данных по скорости всплытия пузырька на нестационарном участке показало удовлетворительное согласование результатов.

Работа выполнена при финансовой поддержке гранта Президента РФ (№ МК-1259.2013.1) и Министерства образования и науки РФ в рамках государственного задания № 2014/223 (код 1567).

#### СПИСОК ЛИТЕРАТУРЫ

1. Водопьянов И.С., Петров А.Г., Шундерюк М.М. О нестационарном осаждении сферической твердой частицы в вязкой жидкости // Изв. РАН. МЖГ. 2010. № 2. С. 97–106.
2. Висицкий Е.В., Петров А.Г., Шундерюк М.М. Движение частицы в вязкой жидкости под действием силы тяжести и вибрации при наличии силы Бассе // ПММ. 2009. Т. 73. Вып. 5. С. 763–775.
3. Li Zhang, Chao Yang, Zai-Sha Mao. Unsteady motion of a single bubble in highly viscous solution and empirical correlation of drag coefficient // Chem. Eng. Sci. 2008. № 63. P. 2099–2106.
4. Park W.C., Klausner J.F., Mei R. Unsteady forces on spherical bubbles // Exp. Fluids. 1995. № 19. P. 167–172.
5. Sangani A.S., Zhang D.Z., Prosperetti A. The added mass, Basset, and viscous drag coefficients in nondilute bubbly liquids undergoing small-amplitude oscillatory motion // Phys. Fluids. V. A 3. № 12. 1991. P. 2955–2970.
6. Mei R., Klausner J.F. Unsteady force on a spherical bubble at finite Reynolds number with small fluctuations in the free-stream velocity // Phys. Fluids A. 1992. V. 4. № 1. P. 63–70.
7. Parmar M., Balachandar S., Haselbacher A. Equation of motion for a drop or bubble in viscous compressible flows // Phys. Fluids. 2012. V. 24. P. 056103.
8. Бронштейн Б.И., Фишбейн Г.А. Гидродинамика, массо- и теплообмен в дисперсных системах. Л.: Химия, 1977. 280 с.
9. Clift R., Grase J.R., Weber M.E. Bubbles, drops and particles. New York: Acad. Press, 1978. 398 р.
10. Ландау Л.Д., Лишин Е.М. Теоретическая физика. Т. 6. Гидродинамика. М.: Наука, 1986. 736 с.
11. Лаврентьев М.А., Шабат Б. В. Методы теории функций комплексного переменного. М.: Наука, 1987. 688 с.
12. Архипов В.А., Васенин И.М., Усанина А.С. Экспериментальное исследование нестационарных режимов всплытия одиночного пузырька // Инж.-физ. журн. 2013. Т. 86. № 5. С. 1097–1106.
13. Dorgan A.J., Loth E. Efficient calculation of the history force at finite Reynolds numbers // Int. J. Multiphase Flow. 2007. V. 33. P. 833–848.